

تأثیر لزجت بر طراحی بهینه‌ی ایرفویل گذر صوتی توسط الگوریتم ژنتیک بهبودیافته

میثم نعمتی (کارشناسی ارشد)

علیرضا جهانگیریان^{*} (استاد)

دانشکده هندسی هوافضای دانشگاه صنعتی امیرکبیر

یکی از مشکلات اساسی در فرایند بهینه‌سازی آنرویدینامیکی به کمک الگوریتم ژنتیک، زمان محاسباتی طولانی برای رسیدن به ایرفویل بهینه بدلیل تعداد دفعات فراوان مراجعه به حلگر جریان برای محاسبه تابع هدف است. از آنجاکه با افزایش عدد رینولدز رفتار جریان لزج به جریان غیر لزج نزدیک می‌شود، یک ایده ساده می‌تواند استفاده از حلگرهای سریعتر از جمله حلگر غیرلزج برای محاسبه تابع هدف باشد. در این مقاله نشان داده می‌شود که کارآیی آنرویدینامیکی ایرفویل بهینه بدست آمده با استفاده از حلگر غیرلزج بمراتب پایین تر از ایرفویل بهینه است آمده از حلگر لزج است. بنابراین می‌توان اذعان نمود که استفاده از حلگر غیرلزج در بهینه‌سازی آنرویدینامیکی در محدوده سرعت‌های گذر صوتی نمی‌تواند منجر به طراحی قابل قبولی شود. در این مقاله از روش پارسک برای پارامتری سازی هندسه ایرفویل و از یک روش ترکیبی فنر خطی و پیچشی برای برای حرکت شبکه استفاده شده است.

واژگان کلیدی: بهینه‌سازی آنرویدینامیکی، اثرات لزجت، جریان گذر صوتی، الگوریتم ژنتیک، حرکت شبکه.

۱. مقدمه

مبتنی بر اصل قدرتمند تکامل است و بعضی از پدیده‌های طبیعی مانند وراثت ژنتیکی و نظریه‌ی داروین را برای بقاء مدل می‌کند.^[۱] این الگوریتم از نقطه نظر بهینه‌یاب کاری بودن، استفاده از مقدار تابع هدف در تعیین مسیر جستجو (به جای مشتق آن)، عدم تداخل پیچیده با کدهای دینامیک سیالات محاسباتی (CFD)، و سهولت در به کارگیری پردازش‌گرهای مواردی در طراحی آنرویدینامیکی حائز اهمیت است.^[۲]

در بهینه‌سازی ایرفویل به کمک روش‌های تصادفی، اشکال متنوعی توسط الگوریتم مورد نظر ایجاد شده و با استفاده از کدهای محاسباتی مورد ارزیابی قرار می‌گیرند. در واقع هدف از بهینه‌سازی ایرفویل رسیدن به عملکرد آنرویدینامیکی بهینه با توجه به شرایط پروازی و محدودیت‌های مسئله است. به عنوان مثال در این تحقیق بهترین عملکرد آنرویدینامیکی با رسیدن به بیشترین نسبت لیفت به درگ تأمین می‌شود. زیرا برد هوایپما نسبت مستقیم با این پارامتر دارد به طوری که با افزایی مقدار سوخت یکسان می‌توان مسافت بیشتری طی کرد. اما زمان بر بدن ارزیابی این اشکال با کدهای دینامیک سیالات محاسباتی لزوم اتخاذ راهکارهای مناسب برای کاهش زمان فرایند بهینه‌سازی را می‌طلبید.

یکی از روش‌های ممکن برای کاهش هزینه محاسباتی این نوع بهینه‌سازی، استفاده از روش‌های سریع‌تر محاسبه‌ی تابع هدف از جمله حل معادلات جریان

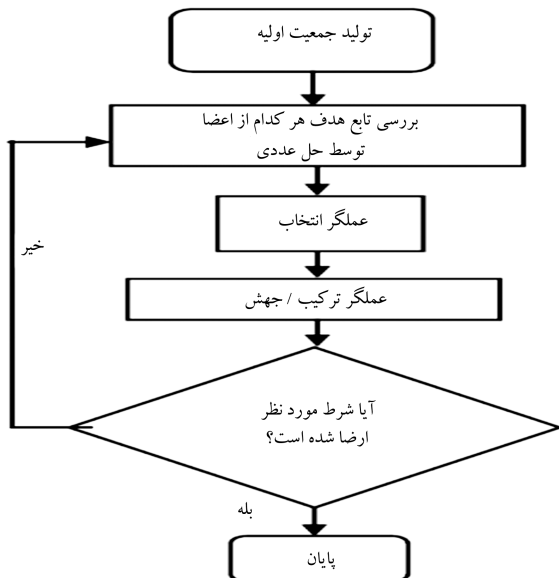
امروزه با گسترش روزافزون قدرت پردازش رایانه‌ها و استفاده از روش‌های حل عددی پیشرفته، بسیاری از تحلیل‌ها در حوزه‌ی دینامیک سیالات که در گذشته برای درک آنها چاره‌ی جز مدل سازی تجربی نبود، در رایانه‌های امروزی با هزینه‌ی بسیار کم تر و بعضی دقت بالاتر قابل انجام است. هم‌زمان فرایند بهینه‌سازی برای بهبود عملکرد با استفاده از روش‌های حل عددی گسترش یافته است. بهینه‌سازی اشکال آنرویدینامیکی معمولاً به دلیل غیرخطی بودن معادلات حاکم بر جریان و ابعاد زیاد فضای طراحی کاری دشوار و زمان بر به شمار می‌رود.^[۳] روش‌های مبتنی بر محاسبه‌ی گرادیان تابع هدف یکی از متدالوگ‌های روش‌های در حل این گونه مسائل است.^[۴] ولی این روش‌ها در اغلب مسائل بهینه‌سازی شامل توابع هدف غیرخطی، منجر به یافتن بهینه‌ی محلی به جای بهینه‌ی کلی می‌شوند. در ضمن ممکن است در برخی مسائل محاسبه‌ی مشتقات بسیار مشکل یا غیرممکن باشد. در چنین مواردی روش‌هایی مانند الگوریتم‌های تکاملی^۱ برتری می‌یابند.^[۵]

الگوریتم ژنتیک^۲ یکی از روش‌های بهینه‌سازی تصادفی است که در دو دهه اخیر در طراحی آنرویدینامیکی شدیداً مورد توجه قرار گرفته است. الگوریتم مذبور

* نویسنده مسئول

تاریخ: دریافت ۲۵/۰۲/۱۳۹۶، اصلاحیه ۷/۶/۱۳۹۶، پذیرش ۱۴/۹/۱۳۹۶.

DOI: 10.24200/J40.2019.20839



شکل ۱. ساختار الگوریتم ژنتیک.

پارسک^۲ مشخص می‌شود. سپس جایه‌جایی شبکه از میدان مربوط به شکل قبلی به میدان جدید صورت می‌گیرد و معادلات حاکم در میدان جدید به صورت عددی حل می‌شوند. با مشخص شدن کمیت‌های آنرودینامیکی برای شکل مزبور مقدار تابع هدف محاسبه شده و به عنوان مقدار تابع هدف برای کروموزوم مرور نظر ذخیره می‌شود. بعد از اینکه مقدار تابع هدف برای تمامی کروموزوم‌های جمعیت یک نسل به طریق مشابه به دست آمدند، عملگرهای الگوریتم ژنتیک اجرا می‌شوند.

عملگرهای ژنتیکی استاندارد عبارت‌اند از: انتخاب، ترکیب و جهش. عملگر انتخاب، کروموزوم‌های بهتر نسل فعلی را برای شرکت در تولید نسل بعدی انتخاب می‌کند. این انتخاب عموماً بر مبنای برازنده‌گی و تصادف صورت می‌گیرد. عملگر ترکیب با تعویض تصادفی بعضی زن‌های دوکروموزومی والد باعث ایجاد کروموزوم‌های جدید می‌شود (در اصل این عملگر باعث می‌شود خصلت‌های ژنتیکی خوب به کروموزوم‌های نسل بعد انتقال یابد). عملگر جهش نیز به طور تصادفی بعضی زن‌های یک کروموزوم را در یک بازه تعریف شده - به نام بازه اغتشاشی - تغییر داده و باعث وسیع تر شدن فضای جست‌وجو توسعه الگوریتم می‌شود. بعد از شکل‌گیری جمعیت کروموزوم‌های جدید تک تک این کروموزوم‌ها مراحل رمزگشایی، تعیین شکل، جایه‌جایی شبکه‌ی محاسباتی و حل عددی جریان را طی می‌کنند تا برای شرکت در تولید نسل بعدی امتحان‌بندی شوند؛ مراحل جست‌وجو به صورت تکراری مطابق فلوچارت ادامه پیدا می‌کنند.

شرط توقف الگوریتم می‌تواند رسیدن به یک تعداد مرحله‌ی تعریف شده یا رسیدن به یک مطلوبیت مشخص در کروموزوم‌ها باشد. جزئیات بیشتر نحوه پیاده‌سازی الگوریتم ژنتیک در مسائل بهینه‌سازی آنرودینامیکی، در مطالعات انجام شده آمده است.^[۱۸]

۳. جایه‌جایی شبکه‌ی بی‌سازمان با تغییرات مرز

طی فرایند بهینه‌سازی - که در بخش‌های قبل توضیح داده شد - ایرفویل‌های متعددی ایجاد می‌شود و مرزهای شکل آنرودینامیکی تغییر می‌یابند. لذا برای حل

غیرلزج (اویلر) به جای معادلات ناوير - استوکس است. از آن‌جا که با افزایش عدد رینویل‌ز رفتار جریان لزج (جریان حقیقی) به جریان غیرلزج نزدیک‌تر می‌شود، بنابراین استفاده از معادلات غیرلزج برای یافتن ایرفویل بهینه می‌تواند یک راه برای کاهش زمان محاسباتی در این شرایط باشد. بهینه‌سازی با توابع هدف متنوعی با استفاده از حل‌گرهای جریان غیرلزج^[۸-۹] و لزج^[۱۰-۱۱] در شرایط گذر صوتی با توابع هدف متنوع محققین انجام گرفته است. با این حال مقایسه نتایج در شرایط یکسان و بررسی امکان به کارگیری حل‌گر غیرلزج در شرایط گذر صوتی به جای حل‌گر جریان واقعی به منظور کاهش زمان محاسباتی موضوعی است که به آن پرداخته نشده است.

بنابراین هدف اصلی این پژوهش بررسی اثرات وجود یا عدم وجود لزجت در روند بهینه‌سازی بر عملکرد آنرودینامیکی ایرفویل بهینه‌ی به دست آمده در زاویه‌ی حمله و عدد ماخ پیکسان است.

از جمله تدابیر دیگری که می‌توان برای کاهش زمان محاسباتی به کار برد جایه‌جا کردن شبکه‌ی محاسباتی اطراف جسم به جای تولید مجدد آن است. با انجام این عمل ضمن عدم نیاز به تولید مجدد کلیه نقاط و اتصالات، به راحتی می‌توان مقادیر کمیت‌های جریان در اطراف یک شکل را به عنوان مقادیر اولیه در حل جریان در اطراف شکل بعدی (شکل تغییر یافته) مورد استفاده قرار داد و در نتیجه در زمان کل محاسبات صرفه‌جویی کرد. روش‌های متعددی برای جایه‌جایی شبکه‌ی بی‌سازمان مورد استفاده قرار گرفته که اغلب آن‌ها مبتنی بر مدل سازی فنر خطی^[۱۵-۱۳] هستند. با این حال مدل سازی فنر خطی به تنهایی قادر به انجام جایه‌جایی‌های بزرگ مرز نیست و در چنین مواردی اغلب المان‌های حجمی یا سطحی با مساحت منفی یا صفر تولید می‌شود. برای جلوگیری از این اتفاق در تحقیق حاضر از روش فنر پیچشی^[۱۶] نیز در جایه‌جایی شبکه به صورت هم‌زمان با فنر خطی استفاده شده است. اضافه کردن فنر پیچشی از تداخل اضلاع و ایجاد مساحت منفی جلوگیری می‌کند.

بنابراین در این مقاله ابتدا ایرفویل اولیه RAE2822 با استفاده از دو حل‌گر متقاومت جریان لزج و غیرلزج به منظور رسیدن به ایرفویلی با بیشترین ضریب لیفت و کم‌ترین ضریب درگ بهینه‌سازی می‌شود. سپس کارآیی آنرودینامیکی ایرفویل بهینه به دست آمده از حل‌گر غیرلزج در معرض جریان واقعی (لزج) بررسی و نتایج حاصله با ایرفویل بهینه‌ی به دست آمده از جریان لزج مقایسه می‌شود.

۲. بهینه‌سازی آنرودینامیکی با استفاده از الگوریتم ژنتیک

در شکل ۱ فلوچارت طراحی بهینه‌ی شکل آنرودینامیکی با الگوریتم ژنتیک نشان داده شده است. بر این اساس، جست‌وجوی حالت بهینه با انتخاب یک جمعیت اولیه با تعداد کروموزوم مشخص شروع می‌شود. هر کروموزوم در جمعیت مزبور معادل یک شکل ایرفویل یا به عبارت دیگر یک حالت ممکن برای طراحی است. عناصر تشکیل دهنده‌ی کروموزوم‌ها زن‌ها هستند، به طوری که هر زن مقدار کد شده‌ی یک متغیر تصمیم‌گیری است. برای مشخص کردن مقدار برازنده‌گی کروموزوم‌ها (نزدیک بودن شکل کروموزوم‌ها به مشخصات مورد نظر مسئله)، ابتدا آن‌ها از حالت کد شدگی (فضای زن‌ها) خارج می‌شوند و برای مشخص شدن هندسه ایرفویل مورد نظر به برنامه تعیین شکل فرستاده می‌شوند. در برنامه مزبور هندسه کامل شکل با به کارگیری متغیرهای تصمیم‌گیری و از طریق روش پارامتری سازی

نام و m تعداد اضلاع متصل به نقطه i است. مدل سازی شبکه با روش سیستم کشش فنری، عدم تقاطع نقاط با اضلاع را در جایه جایی های بزرگ مرز تضمین نمی کند. بنابراین با افزودن فنر پیچشی به فنر خطی می توان عدم برخورد نقاط با اضلاع شبکه را در فرایند جایه جایی شبکه به صورت خودکار تضمین کرد (شکل ۳). در مدل سازی فنر پیچشی فرض می شود که بین هر دو ضلع از شبکه یک فنر پیچشی نیز قرار می گیرد. این عمل مطابق رابطه 2 از برخورد نقطه با ضلع شبکه جلوگیری می کند.

$$ci^{ijk} = \frac{1}{1 + \cos \theta_i^{ijk}} \times \frac{1}{1 - \cos \theta_i^{ijk}} = \frac{1}{\sin^2 \theta_i^{ijk}} \quad (3)$$

c_i^{ijk} سختی هر فنر پیچشی است. با توجه به زاویه θ می توان به رابطه 4 دست یافت:

$$\begin{cases} if \theta_i^{ijk} \rightarrow 0 \text{ then } c_i^{ijk} \rightarrow \infty \\ if \theta_i^{ijk} \rightarrow 180^\circ \text{ then } c_i^{ijk} \rightarrow \infty \end{cases} \quad (4)$$

به عبارت دیگر با نزدیک شدن زاویه i بین اضلاع به زوایای فوق، سختی فنر طبق رابطه 4 افزایش می یابد (به طرف سختی بینهایت حرکت می کند) و از برخورد اضلاع با هم جلوگیری خواهد شد. طرف راست رابطه 3 را می توان بر اساس اضلاع و مساحت هر سلول مطابق رابطه 5 بازنویسی کرد:

$$\sin^2 \theta_i = \frac{2A_{ijk}}{I_{ij} I_{ik}} \quad (5)$$

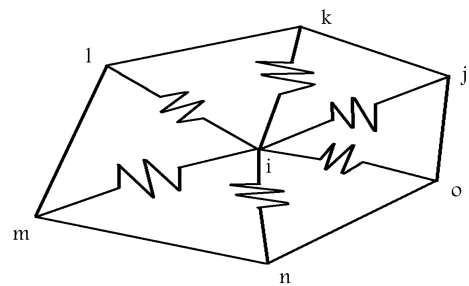
که در آن A_{ijk} مساحت هر سلول و I طول اضلاع متصل به نقطه i است. بنابراین سختی فنر پیچشی عبارت خواهد بود از:

$$c_i^{ijk} = \frac{I_{ij} I_{ik}}{4A_{ijk}} \quad (6)$$

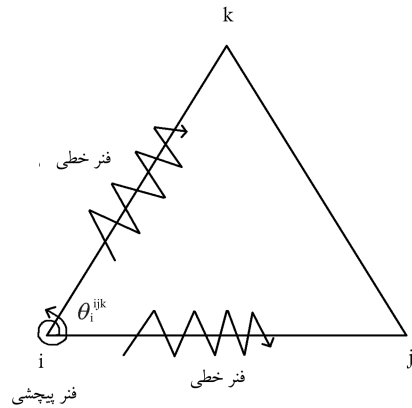
بر اساس رابطه 6 ، سختی پیچشی را می توان فقط به صورت تابعی بر حسب اضلاع نوشت؛ چرا که خود اضلاع مساحت را نیز می سازند. اکنون می توان سختی هر دو فنر خطی و پیچشی را با هم جمع کرد و در رابطه 2 قرار داد. سپس میزان جایه جایی هر نقطه را طبق رابطه 7 یافته:

$$Total Stiffness = K_{Linear} + C_{Torsional} \quad (7)$$

بعد از قرار دادن سختی مجموع در رابطه 2 ، باید با تعداد تکرار مناسب این رابطه، موقعیت جدید هر نقطه را بیاییم. می توان به جای تعداد تکرار، مقدار جایه جایی مشخصی را برابر کل نقاط تعیین کرد که هر وقت مجموع جایه جایی نقاط از این مقدار کمتر شد نشان دهنده ای به تعادل رسیدن فنرها و قرارگیری نقاط در محل تعادل شده است. نکته مهمی که درباره ای اعمال این روش وجود دارد این است که به تعادل رساندن یکباره از وضعیت اولیه ای نقاط به وضعیت انتهایی می تواند منجر به تداخل سلول ها شود. بنابراین بهتر است این فاصله به تعداد کم تر شکسته شود و برای هر مرحله فرایند تکرار رابطه 2 را به تعادل رسیدن نقاط انجام شود. تقسیم فاصله ای ابتدایی و انتهایی بسته به تراکم شبکه می تواند متغیر باشد. هرچه تراکم نقاط در نزدیک جسم بیشتر باشد بهتر است که به فاصله های کوچک تری تقسیم شود.



شکل ۲. نمای روش فنر خطی.



شکل ۳. فنر پیچشی و خطی.

میدان جریان جدید، باید با یک روش مناسب، شبکه ای محاسباتی از میدان جریان قبلی بدون تقاطع اضلاع و حفظ کیفیت شبکه به میدان جریان با مرزهای جدید جایه جایا شود. روش متناول در جایه جایی شبکه ای بی سازمان در جریان غیرلزج مبتنی بر روش مدل سازی فنر خطی است (شکل ۲). اگر θ و z شماره نقاط دو سر یک ضلع در شبکه باشند، سختی فنر مربوط به آن ضلع عبارت است از:

$$k_{ij} = \frac{1}{[(x_i - x_j)^2 + (y_i - y_j)^2]^{1/2}} \quad (1)$$

که در آن r پارامتری است که برای کنترل سختی فنر استفاده شده و معمولاً برابر 1 در نظر گرفته می شود. k سختی فنر و برابر عکس طول هر ضلع است. به عبارت بهتر وقتی طول ضلع شبکه (طول فنرا کاهش می یابد، سختی آن افزایش می یابد و آن ضلع سخت تر جایه جایا می شود. اگر طول ضلع به صفر نزدیک شود سختی فنر به بینهایت میل می کند و از افتادن دو نقطه ای یک ضلع روی هم جلوگیری می شود. برای هر نقطه ای داخل شبکه نیروهای خارجی از طریق اتصالات فنری آن نقطه اعمال می شود و مکان نقطه ای مزبور به سمت اضلاع بزرگ تر که سختی کم تر دارند هدایت می شود. شکل ریاضی این جایه جایی از رابطه 2 تبعیت می کند:

$$\Delta x_i^{n+1} = \frac{\sum_{j=1}^m k_{ij} \Delta x_{ij}^n}{\sum_{j=1}^m k_{ij}} \quad (2)$$

که در آن Δx_i^{n+1} جایه جایی نقطه i نام شبکه در مرحله $n+1$ بعدی حلقه ای تکرار Δx_i^n مکان فعلی گره های همسایه ای نقطه i ، z شماره نقاط متصل به نقطه i

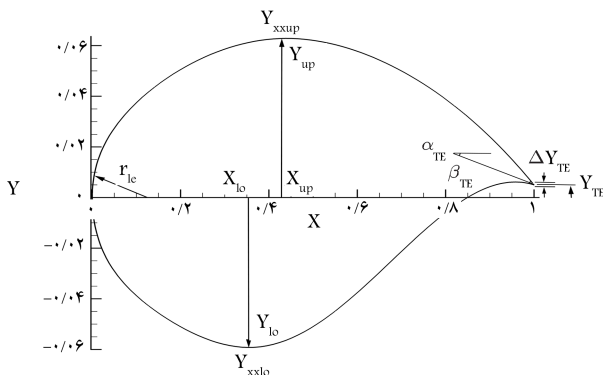
۴. طراحی بهینه‌ی شکل ایرفویل

در این قسمت جزئیات بخش‌های مختلف روش بهینه‌سازی شکل ایرفویل در شرایط کروز با استفاده از الگوریتم ژنتیک ارائه شده است.

۱. تابع هدف

در تحقیق حاضر تابع هدف، بیشترین مقدار نسبت ضریب لیفت به ضریب درگ [۶] چنین تعریف می‌شود:

$$\text{Objective function} = \begin{cases} \frac{c_L}{c_D} & t_{Max} \geq 0/1 \\ \frac{c_L}{c_D} e^{(1^{\circ}(t_{Max} - 0/1))} & t_{Max} < 0/1 \end{cases} \quad (8)$$



شکل ۴. شماتیک از مقطع بال به همراه پارامترهای روش پارسک.

کردن از ضخامت لبه‌ی فرار، از ۱۰ پارامتر استفاده شده است ($\Delta Y_{TE} = 0$). شبکه‌ی محاسباتی حول ایرفویل به روش جهانگیریان و جانستون [۲۱] تولید شده است. این روش قادر است که سلول‌های با کیفیت در داخل و خارج لایه‌ی مرزی تولید کند.

۳.۴. مدل‌سازی عددی و اعتبارسنجی حل گر جریان

رابطه‌هایی که برای شبیه‌سازی جریان مورد استفاده قرار گرفته عبارت‌اند از: معادلات دوبعدی غیردائم و تراکم‌پذیر غیرلنج و لنج در شکل بقایی. این معادلات شامل معادلات بقای جرم، مومنت و انرژی است که در حالت برداری برای فرم لنج آن عبارت است از:

$$\frac{\partial Q}{\partial t} + \frac{\partial(F^i - F^v)}{\partial x} + \frac{\partial(G^i - G^v)}{\partial y} = 0 \quad (10)$$

که در آن Q بردار متغیرهای بقایی و F و G بردارهای شار شامل بردارهای شار جابه‌جایی در جهات مختلف هستند. F^i و G^i شار جابه‌جایی و F^v و G^v اثرات ناشی از گران روی هستند. با حذف F^v و G^v رابطه‌ی ۱۰ به رابطه‌ی غیرلنج اوپر تبدیل می‌شود. مقادیر این کمیت‌ها عبارت است از:

$$Q = \begin{pmatrix} \rho \\ \rho u \\ \rho v \\ \rho E \end{pmatrix}, F^i = \begin{pmatrix} \rho u \\ \rho u^* + p \\ \rho uv \\ (\rho E + p)u \end{pmatrix}, G^i = \begin{pmatrix} \rho v \\ \rho uv \\ \rho v^* + p \\ (\rho E + p)v \end{pmatrix} \quad (11)$$

$$F^v = \begin{pmatrix} 0 \\ \tau_{xx} \\ \tau_{xy} \\ u\tau_{xx} + v\tau_{xy} + qx \end{pmatrix}, G^v = \begin{pmatrix} 0 \\ \tau_{xy} \\ \tau_{yy} \\ u\tau_{xy} + v\tau_{yy} + qy \end{pmatrix} \quad (12)$$

که در آن، u و v مؤلفه‌های سرعت در جهات x و y ، p فشار، ρ چگالی و E انرژی داخلی سیال است. همچنین برای تکمیل معادلات ۱۱ و ۱۲ از معادله‌ی حالت گاز کامل استفاده می‌شود. [۲۲، ۲۳]

در این تحقیق از یک روش حجم کنترل مبتنی بر گسسته‌سازی مکانی مرکزی (با درجه دقت ۲) و گسسته‌سازی زمانی دو زمانه (با درجه دقت ۲) برای حل معادلات ناوبر - استوکس تراکم‌پذیر استفاده شده است. مدل اغتشاشی به کار رفته نیز یک مدل دومعادله‌ی $\varepsilon - k$ است. روی سطح ایرفویل شرط عدم لغزش، و

که در آن c_L و c_D به ترتیب ضریب لیفت و ضریب درگ ایرفویل در شرایط جریان تعریف شده هستند. ترم نمایی به صورت یک تابع جریمه برای حالت‌هایی که ضخامت بیشینه کمتر از ۰/۱ دارند عمل می‌کند و ضریب عددی ۰/۱ برای تشدید این تابع جریمه برای ایرفویل‌هایی با بیشینه ضخامت کمتر از ۰/۱ پیش‌بینی شده است. بنابراین در طول فرایند شبیه‌سازی، ترم نمایی باعث عدم گیر کردن فرایند جستجو در نواحی غیرقابل قبول می‌شود. مطابق تحقیق حاضر اعمال قیدها در تابع هدف به صورت یک ترم جریمه سازگاری بالایی با نحوه‌ی کار الگوریتم ژنتیک دارد.

۲. پارامتری کردن شکل ایرفویل

روش‌های متعددی برای پارامتری کردن شکل ایرفویل ارائه شده که بهترین نوع آن روش بهینه‌شده‌ی پارسک است. [۱۹] این روش قادر است دامنه‌ی تغییرات بزرگی از اشکال مقطع بال را با تعداد پارامترهای کمتر نمایش دهد. در تحقیق حاضر برای پارامتری کردن مقاطع ایرفویل از روش شاهرخی و جهانگیریان [۲۰] استفاده شده است. در این روش شکل مقطع بال با ترکیب خطی توابع شکل ۴ به صورت رابطه‌ی ۹ نوشته می‌شود:

$$y = \sum_{n=1}^6 a_n x^{\frac{(n-1)}{4}} \quad (9)$$

که در آن x و y مختصات نقاط مقطع بال و $a_{n=1, 2, \dots, 6}$ ضرایب توابع شکل هستند که مقدار آن‌ها به مقادیر پارامترهای مقطع بال بستگی دارد. در این روش برای مشخص کردن شکل بال ۱۱ پارامتر به کار گرفته می‌شود. در شکل ۴ شماتیک از یک مقطع بال به همراه ۱۱ پارامتر مذکور نشان داده شده است. مطابق شکل ۴ این پارامترها عبارت‌اند از: شعاع لبه‌ی حمله (r_{LE})، ارتفاع لبه‌ی فرار (Y_{TE})، زاویه‌ی خط میانی لبه‌ی فرار با افق (α_{TE})، زاویه‌ی گوشه‌ی فرار (β_{TE})، مختصات و انتخاب بیشترین ضخامت روی سطح بالایی (سه پارامتر X_{UP} , Y_{UP} , Y_{XXUP}), مختصات و انتخاب بیشترین ضخامت روی سطح بالایی (X_{LO} , Y_{LO} , Y_{XXLO}) و ضخامت لبه‌ی فرار (ΔY_{TE}). ضرایب توابع شکل برای هر دسته از مقادیر پارامترهای روش پارسک با حل یک سری دستگاه معادلات برای نواحی مختلف ایرفویل به دست می‌آید. نحوه‌ی استخراج معادلات مربوطه به همراه روش حل آنها در مراجع موجود [۱۶] تشریح شده است. در تحقیق حاضر برای تعریف شکل ایرفویل و تعیین هندسه‌ی آن با صرف نظر

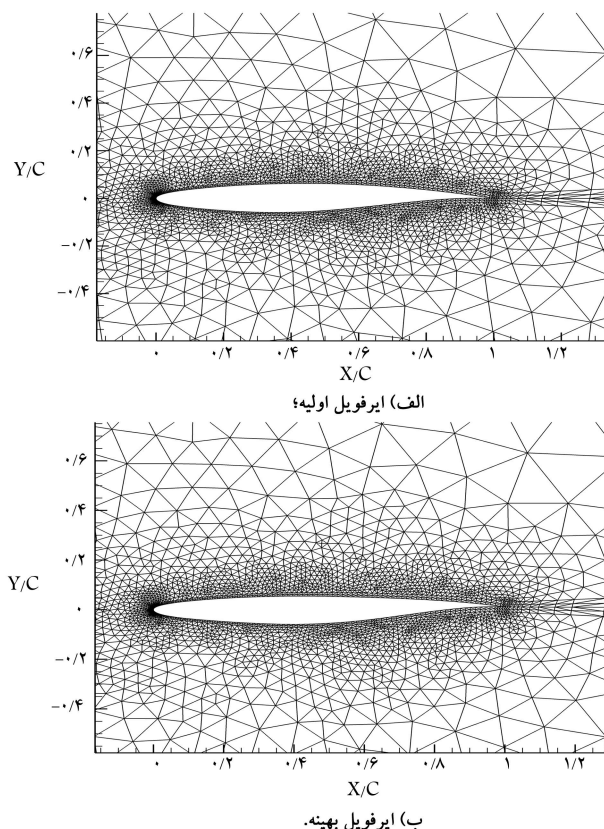
شروع از یک ایرفویل اولیه با شکل متفاوت است. عملکرد الگوریتم ژنتیک استفاده شده در این پژوهش در تحقیقات متعدد [۲۷] اعتبارسنجی شده است.

۵. بررسی نتایج

در این بخش ابتدا نتایج بهینه‌سازی با استفاده از حل‌گر جریان غیرلنز و سپس با استفاده از حل‌گر جریان لزج بررسی و مقایسه شده است. سپس مشخصات آئرودینامیکی ایرفویل به دست آمده با فرض جریان غیرلنز در شرایط جریان واقعی محاسبه شده و مجدداً با نتایج حل‌گر لزج مقایسه می‌شود. در انتهای هزینه‌ی محاسباتی در فرایند بهینه‌سازی در هر دو جریان بررسی شده است. لازم به ذکر است نتایج هدف مورد استفاده در تمام فرایندهای بهینه‌سازی انجام گرفته در این تحقیق مطابق رابطه‌ی ۸ است. همچنین در تمامی حالت‌های این قسمت عدد ماخ جریان برابر ۴^۰ و زاویه‌ی حمله ۲ درجه در نظر گرفته شده است. عدد رینولدز نیز برای حالت جریان لزج برابر ۴,۷۵ میلیون است. مشخصات پردازنده‌ی رایانه‌ی مورد استفاده عبارت است از: PC با فرکانس ۳/۷ گیگاهرتز و ۱۶ گیگابایت حافظه.

۱.۵. نتایج بهینه‌سازی با حل‌گر جریان غیرلنز

در شکل ۶ شبکه‌های اطراف ایرفویل اولیه و ایرفویل بهینه‌ی غیرلنز نمایش داده شده است. همان‌طور که مشاهده می‌شود کیفیت شبکه خصوصاً در نزدیک سطح، با استفاده‌ی هم‌زمان از روش فروختن و پیچشی هنگام حرکت شبکه حفظ شده است.



در مرز خارجی نیز شرط مرزی مشخصه‌ها مبتنی بر متغیرهای ریمان اعمال شده است.

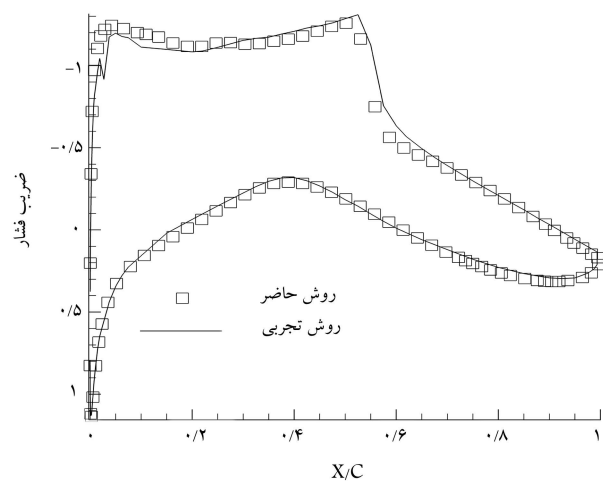
جزئیات بیشتر روش عددی به کار رفته و اعتبارسنجی آن در شرایط مختلف جریان در مرجع [۲۲] ذکر شده است. اما در این قسمت صحت نتایج حل‌گر جریان استفاده شده در این تحقیق در یک مورد با داده‌های آزمایشگاهی اعتبارسنجی شده است.

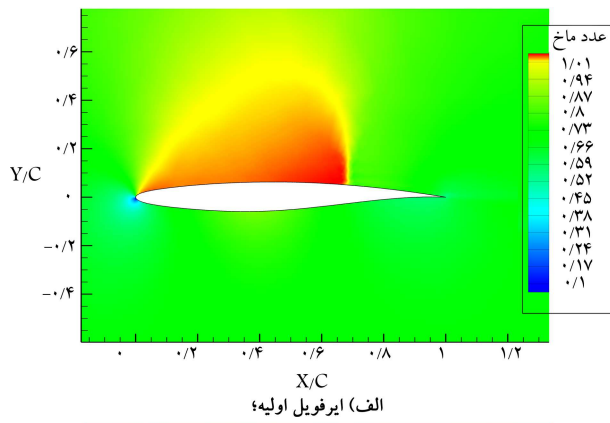
در شکل ۵ مقایسه‌ی توزیع ضریب فشار روی سطح ایرفویل به دست آمده از روش موجود [۲۲] (استفاده شده در این تحقیق) با مقادیر مشابه به دست آمده از تست توپل باد نشان داده شده است. نتایج تجربی مربوط به آزمون تجربی برای ایرفویل RAE2822 [۲۲] است که در شرایط عدد ماخ ۵,۷۳ عدد رینولدز ۴,۷۵ میلیون و زاویه‌ی حمله ۲,۷۹ انجام شده است. مقایسه‌ی نتایج نشان‌دهنده‌ی انطباق خوب توزیع فشار حاصل از نتایج عددی با داده‌های آزمایشگاهی است.

۴.۴. ساختار الگوریتم ژنتیک مورد استفاده

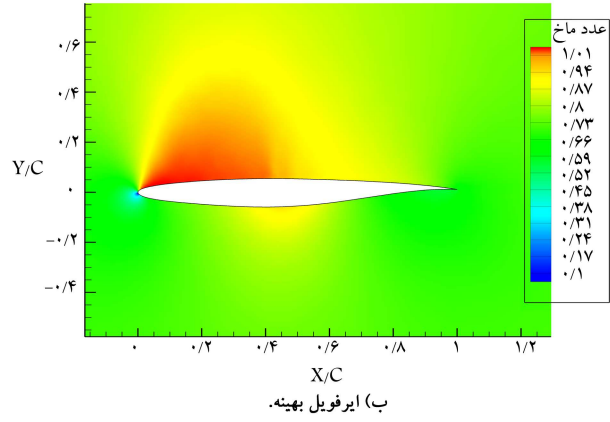
نموده‌ی کد کردن متغیرهای طراحی با نمایش حقیقی ژن‌های هر کروموزوم صورت گرفته است، به طوری که هر ژن یک کروموزوم، حالت کد شده مقدار ۱ پارامتر پارسک است. تمام اعضای جمعیت اولیه در این کار ایرفویل RAE2822 قرار داده شده است. البته از آن جا که الگوریتم ژنتیک یک روش تصادفی است، قاعده‌ای ایرفویل اولیه تأثیری در جواب نهایی نخواهد داشت. عملکر انتخاب رقابتی [۲۵] و عملکر ترکیب با یک نقطه‌ی تلاقی و احتمال ترکیب ۰/۲ در این تحقیق استفاده شده است. احتمال جهش برای ۲۰ نسل اول برابر ۱۲ درصد و بعد از آن هر ۱۰ نسل با ۲ درصد کاهش در مقدار کمینه‌ی ۱ درصد تعریف و تنظیم شده است. این نوع تقسیم بندی به هم‌گرایی سریع‌تر نتایج کمک خواهد کرد. تعداد کروموزوم‌های هر نسل نیز بر حسب تجربه‌ی نویسنده‌گان برای عملکرد مناسب عملکرهاهی الگوریتم ژنتیک برابر ۲۰ انتخاب شده است. در این نوشتار همچنین از یک الگوریتم ژنتیک با محدوده‌ی پارامترهای تطبیق پذیر [۲۶] استفاده شده است.

یکی از روش‌های بررسی صحت الگوریتم بهینه‌سازی استفاده از روش طراحی معکوس است. در این روش هدف رسیدن به هندسه‌ی یک ایرفویل مشخص با





الف) ایرفویل اولیه؛



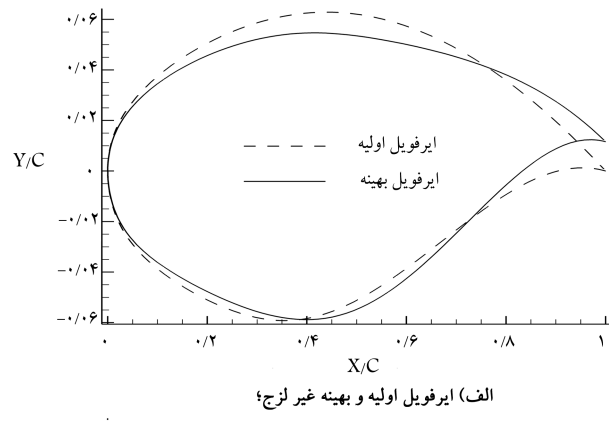
ب) ایرفویل بهینه.

شکل ۹. کانتورهای عدد ماخ حل غیرلزج.

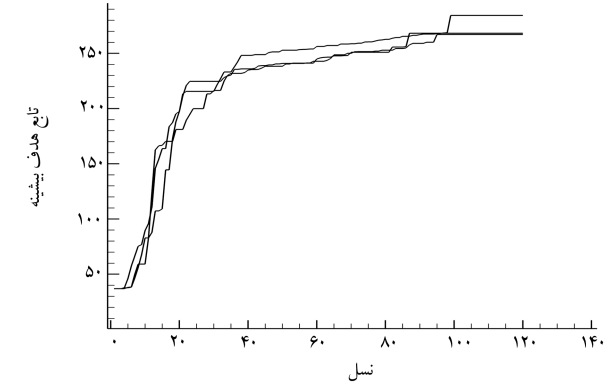
اولیه و در شکل ۹ نیز به ترتیب کانتورهای عدد ماخ حول ایرفویل اولیه (شکل ۹(a)) و ایرفویل بهینه‌ی غیرلزج (شکل ۹(b)) نشان داده شده است. همان‌طور که از این شکل‌ها مشهود است یک شوک قوی روی سطح بالایی و نزدیک قسمت انتهای ایرفویل اولیه مشاهده می‌شود. این شوک قوی در نهایت می‌تواند منجر به افزایش قابل ملاحظه‌ی ضریب درگ و در کل کاهش نسبت ضریب لیفت به ضریب درگ شود. اما همان‌طور که در شکل‌های ۸ و ۹ ب ملاحظه می‌شود ایرفویل بهینه توانسته شوک قوی را تقریباً از بین ببرد. در شکل ۱۰ نیز تاریخچه‌ی همگرایی ضرایب لیفت و درگ در طول روند بهینه‌سازی تقریباً در حال کاهش است. با توجه به تابع هدف مسئله یعنی افزایش بیشینه‌ی نسبت ضریب لیفت به ضریب درگ، می‌توان به این نتیجه رسید که ضریب درگ در فرایند بهینه‌سازی به عملت قرارگرفتن در مخرج کسر و تأثیر بیشتر آن در مقدار کل کسر دارای اهمیت بیشتری در تابع هدف نهایی است. کاهش چشمگیر درگ در این حالت به عملت از بین رفتن موج شوک از روی سطح بالایی ایرفویل موجب افزایش تابع هدف از حدود ۳۶ تا نزدیک ۲۸۴ شده است.

۲.۵. نتایج بهینه‌سازی با حل گر جریان لزج

در این قسمت نتایج بر اساس محاسبه‌ی تابع هدف توسط حل گر جریان لزج به دست آمده است. در شکل ۱۱ هندسه‌ی ایرفویل‌های بهینه‌ی بهینه‌ی به دست آمده، در دو حالت بهینه‌ی لزج و بهینه‌ی غیرلزج در مقایسه با ایرفویل اولیه نشان می‌دهد. همان‌طور که مشاهده می‌شود لبه‌ی فرار ایرفویل بهینه‌ی لزج به طرف پایین حرکت کرده است تا ضمنن به دست آوردن ضریب لیفت بیشتر، ضریب درگ را کاهش

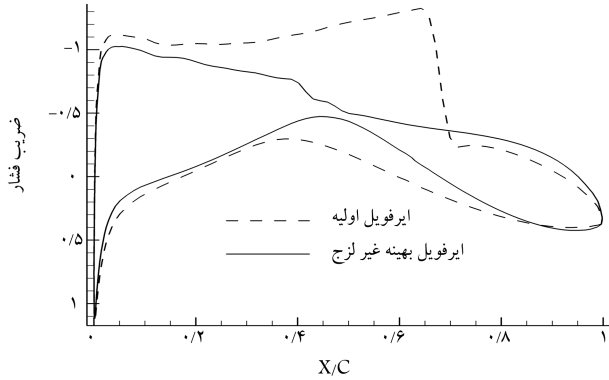


الف) ایرفویل اولیه و بهینه غیر لزج؛



ب) تاریخچه همگرایی.

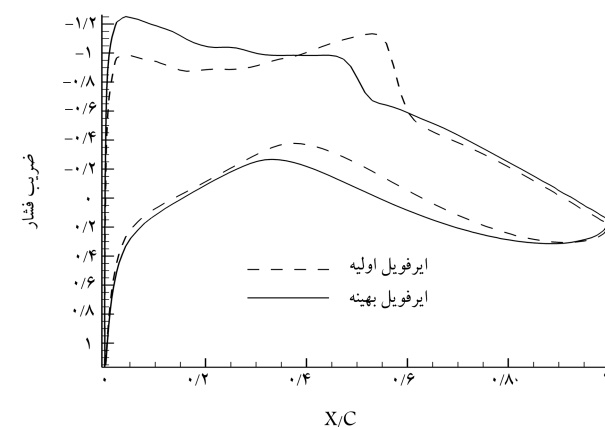
شکل ۷. بهینه‌سازی حل غیرلزج.



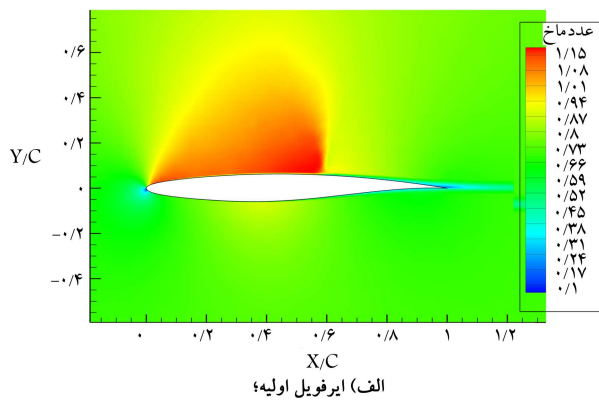
شکل ۸. ضرایب فشار روی سطح ایرفویل اولیه و بهینه غیرلزج.

در شکل ۷ الف هندسه‌ی ایرفویل اولیه‌ی RAE ۲۸۲۲ که در جهت عمودی بزرگ‌نمایی شده، در کنار ایرفویل بهینه‌شده نشان داده شده است. همان‌طور که ملاحظه می‌شود ایرفویل بهینه دارای بیشینه ضخامت کم تر و لبه‌ی فرار بالاتر نسبت به ایرفویل اولیه است. در شکل ۷ ب نیز تاریخچه‌ی همگرایی الگوریتم زتیک برای ۳ اجرای یکسان و ۱۲۰ نسل نشان داده شده است. مشاهده می‌شود که مقدار تابع هدف، یعنی نسبت ضریب لیفت به ضریب درگ، در این حالت به مقدار بیشینه حدود ۲۸۴ رسیده است. از آن‌جا که الگوریتم زتیک یک روش تصادفی است، بدینهی است که جواب‌های نهایی اجرای‌های یکسان دقیقاً مانند هم نباشد اما نزدیکی جواب‌های نهایی به هم می‌تواند نشان‌گر صحبت روند بهینه‌سازی در جستجو و نزدیک شدن به بهینه‌ی کلی باشد.

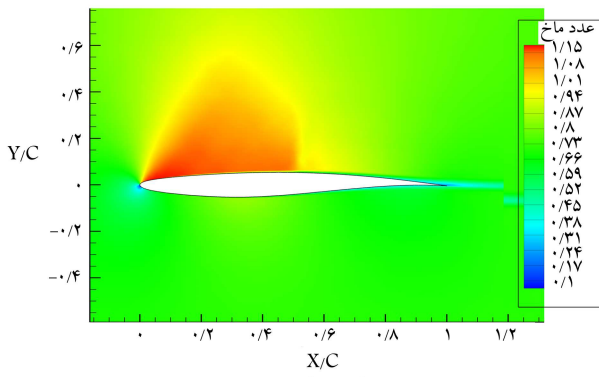
در شکل ۸ ضرایب فشار روی سطح ایرفویل‌های بهینه‌ی غیرلزج و ایرفویل



شکل ۱۲. ضرایب فشار روی سطح ایرفویل‌های اولیه و بهینه‌ی لرج.



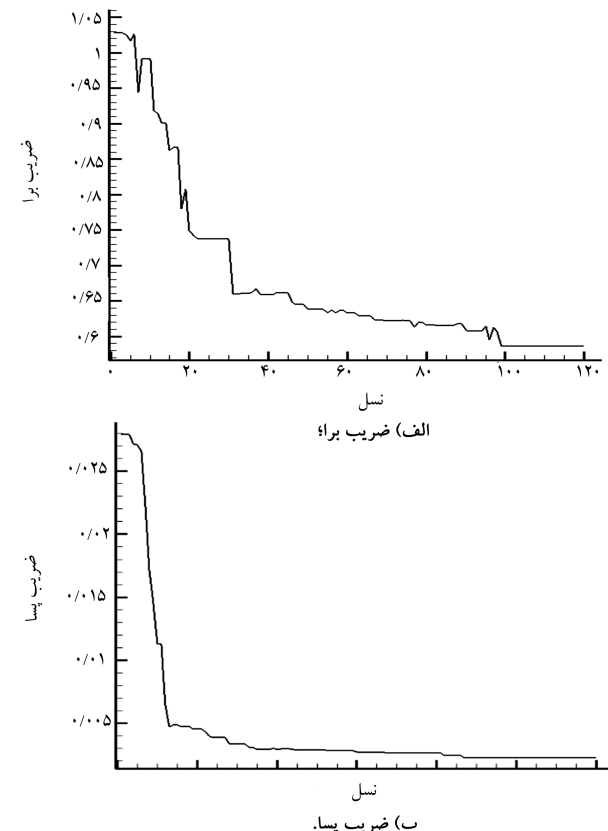
الف) ایرفویل اولیه؛



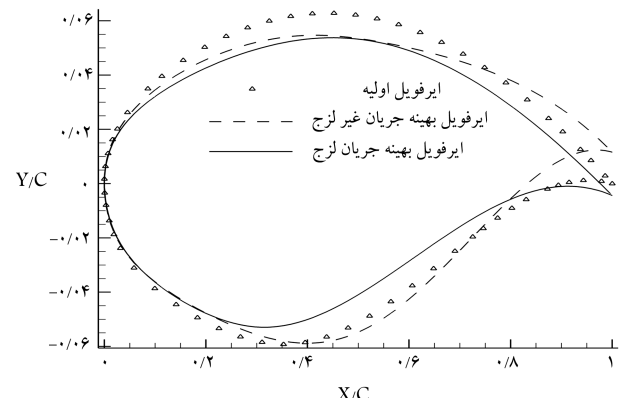
ب) ایرفویل بهینه.

شکل ۱۳. کانتورهای عدد ماخ حل لرج.

می‌توان یافت، اما در بهینه‌سازی لرج به علت وجود لزجت تعداد ایرفویل‌های کمتری در فضای جستجو وجود خواهد داشت و مقادیر بهینه‌ی نهایی به هم نزدیک‌تر خواهد بود. در شکل ۱۴ شبکه‌های عددی حول ایرفویل‌های اولیه و بهینه‌ی لرج نشان داده شده است. در این حالت نیز استفاده از روش فنر پیچشی توان با روش فنر خطی موجب حفظ صحت و کیفیت شبکه حتی در داخل لایه مرزی شده است. نمودار همگرایی تابع هدف برای بهترین عضو در فرایند بهینه‌سازی لرج برای ۳ اجرای یکسان در شکل ۱۴ ج نشان داده شده است. به علت همگرایی سریع تر الگوریتم در جریان لرج می‌توان برای تعداد نسل کمتری اجرا گرفت. بدینهی است که با در نظر گرفتن اثرات لزجت مقدار تابع هدف کاهش قابل ملاحظه‌ی می‌یابد که عمدتاً ناشی از افزایش ضریب درگ است. در کل می‌توان اذعان داشت که

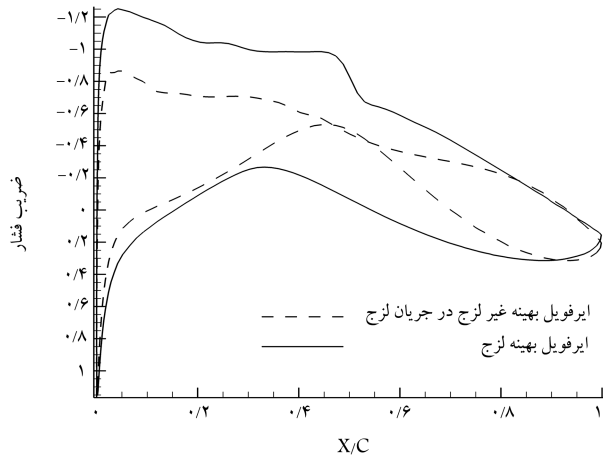


شکل ۱۰. ضرایب آئرودینامیکی جریان غیرلنج برای بهترین عضو هر نسل.

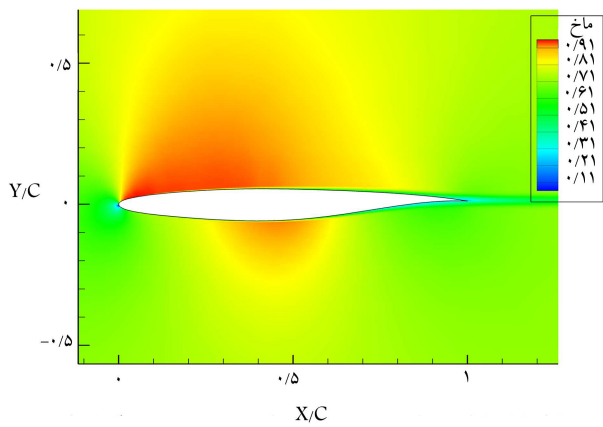


شکل ۱۱. ایرفویل‌های اولیه، بهینه‌ی غیرلنج، بهینه‌ی لرج.

دهد اما بهینه‌ی غیرلنج تمرکز خود را روی کاهش نیروی درگ قرار داده تا به علت نبود گران روی مقدار زیادی از نیروی درگ را کم کند. در شکل ۱۲ ضرایب فشار روی سطح برای ایرفویل‌های بهینه و ایرفویل اولیه در جریان لرج نشان داده شده است. چنان که مشاهده می‌شود محل وقوع شوک نسبتاً قوی در ایرفویل اولیه در جریان غیرلنج حدوداً در مکان 7° طول و تر و در جریان لرج در مکان 5° طول وتر با شوک ضعیفتر است. در شکل ۱۳ نیز کانتورهای عدد ماخ حول ایرفویل اولیه و ایرفویل بهینه‌ی لرج نشان داده شده است. از مقایسه‌ی شکل‌های ۸ و ۱۲ در می‌یابیم که اختلاف بین ضریب فشار سطحی ایرفویل بهینه و ایرفویل اولیه غیرلنج بیشتر از اختلاف مشابه در جریان لرج است؛ چرا که به علت نادیده‌گرفتن گران روی، در فرایند بهینه‌سازی غیرلنج ایرفویل‌های بیشتری در فضای جستجو



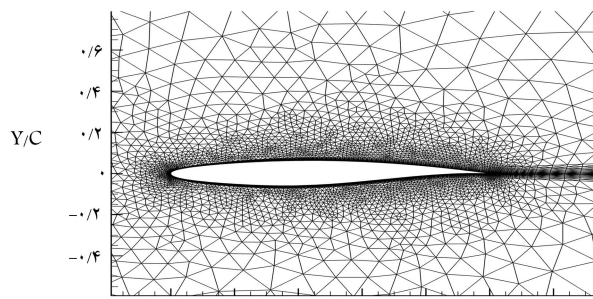
شکل ۱۵. مقایسه‌ی خسایب فشار سطحی روی ایرفویل بهینه‌ی لزج و ایرفویل بهینه‌ی غیرلزج که در جریان لزج بررسی شده است.



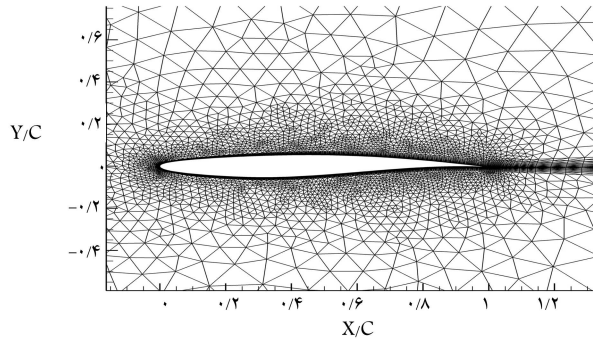
شکل ۱۶. کانتورهای عدد ماخ جریان واقعی روی ایرفویل بهینه‌ی غیرلزج.

در شکل ۱۶ کانتور عدد ماخ به دست آمده از حل جریان لزج بر روی ایرفویل بهینه‌ی غیرلزج نشان داده شده است.

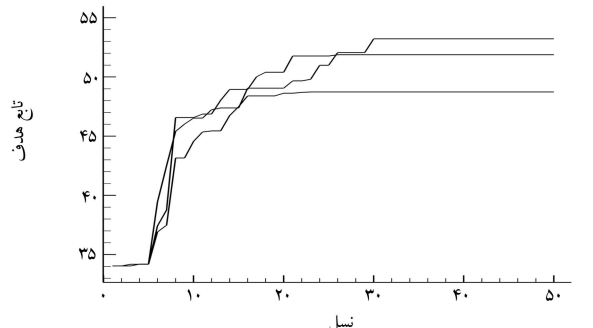
از آن‌جا که هدف مسئله‌ی مورد نظر رسیدن به بیشترین $\frac{c_L}{c_D}$ است، به دلیل قرارگیری ضریب درگ در مخرج و تأثیر بیشتر آن در کل کسر، فرایند بهینه‌سازی در هر دو جریان لزج و غیرلزج از ضریب درگ تأثیر بیشتری خواهد گرفت. تمرکز بهینه‌سازی در جریان غیرلزج بر روی کاهش ضریب درگ از طریق کاهش قدرت شوک صورت می‌پذیرد؛ چرا که تنها عامل درگ در جریان غیرلزج، نوع فشاری است که عمدتاً حاصل وقوع شوک است. با قراردادن ایرفویل بهینه‌ی غیرلزج در جریان لزج مشخص می‌شود که ضریب فشار در هر دو قسمت بالا و پایین ایرفویل مقاومت زیادی با ایرفویل بهینه‌ی لزج دارد ولی در عوض ضریب درگ کمتری (شوک ضعیف‌تری) را نسبت به ایرفویل بهینه‌ی لزج نشان می‌دهد. مجموع نتایج فوق در جدول ۱ ارائه شده است. چنان‌که ملاحظه می‌شود روش بهینه‌سازی حاضر توانسته نسبت ضریب لیفت به ضریب درگ در جریان غیرلزج را از حدود ۳۶ برای ایرفویل اولیه به حدود ۲۸۴ در ایرفویل نهایی افزایش دهد که یک بهبود قابل توجه به حساب می‌آید. ولی مقدار $\frac{c_L}{c_D}$ همین ایرفویل بهینه‌ی غیرلزج در جریان لزج مقایسه شده است. با مقایسه‌ی ضرایب فشار ایرفویل بهینه‌ی غیرلزج در جریان لزج متوافق نمی‌باشد. بنابراین می‌توان اذعان کرد که ایرفویل بهینه‌ی به دست آمده از حل جریان غیرلزج نمی‌تواند هندسه‌ی مناسب برای شرایط جریان واقعی در محدوده‌ی



(الف) شبکه ایرفویل اولیه؛



(ب) شبکه ایرفویل بهینه؛



شکل ۱۷. نتایج بهینه‌سازی جریان لزج.

در این حالت نیز، فرایند بیشتر بر کمتر کردن ضریب درگ تمرکز داشته است. دنبال کردن این رویه به وسیله‌ی فرایند بهینه‌سازی در هر دو جریان نشان از تأثیر شدید ضریب درگ در مقدار تابع هدف تعیین شده برای ایرفویل‌های گذرا صوتی دارد.

۳.۵. رفتار واقعی ایرفویل بهینه‌ی غیرلزج

بعد از یافتن ایرفویل‌های بهینه با استفاده از حل‌گرهای جریان غیرلزج و لزج، امکان کاهش زمان محاسباتی از طریق استفاده از حل‌گر غیرلزج مورد مطالعه قرار می‌گیرد. برای این کار ابتدا رفتار ایرفویل بهینه‌ی غیرلزج در جریان واقعی (لزج) بررسی می‌شود. در شکل ۱۵ توزیع ضریب فشار سطحی روی ایرفویل بهینه‌ی لزج و ایرفویل بهینه‌ی غیرلزج در جریان لزج مقایسه شده است. با مقایسه‌ی ضرایب فشار مشخص می‌شود که ایرفویل غیرلزج ضریب لیفت به مراتب کمتری نسبت به ایرفویل بهینه‌ی لزج در شرایط واقعی تولید می‌کند. در مقابل این ایرفویل توانسته با ضعیف کردن قدرت شوک کاهش ضریب درگ را به نحو موفقیت‌آمیزی افزایش دهد.

جدول ۱. نتایج بهینه‌سازی آئرودینامیکی.

جریان	ایرفویل	ضریب درگ فشاری	ضریب درگ اصطکاکی	ضریب درگ کل	ضریب درگ لیفت	$\frac{c_L}{c_D}$
غیر لزج	RAE ۲۸۲۲	۰,۰۲۷۹	۰,۰	۰,۰۲۷۹	۱,۰ ۲	۳۶,۸۵
بهینه‌ی به دست آمده	RAЕ ۲۸۲۲	۰,۰۱۹	۰,۰	۰,۰۰۱۹	۰,۵۴	۲۸۴,۳۱
غیر لزج	RAЕ ۲۸۲۲	۰,۰۱۶۴	۰,۰۰۶۳	۰,۰۰۲۲۷	۰,۷۷۴	۳۴,۰۳
لزج	بهینه‌ی به دست آمده لزج	۰,۰۰۷۵	۰,۰۰۶۹	۰,۰۰۱۴۴	۰,۷۵	۵۳,۲۲
بهینه‌ی به دست آمده غیر لزج	RAЕ ۲۸۲۲	۰,۰۰۴۵	۰,۰۰۷۱	۰,۰۰۱۱۶	۰,۳۷	۳۱,۷۳

رفتار جریان لزج به جریان غیر لزج نزدیک‌تر می‌شود. بنابراین برای کاهش زمان محاسباتی، بررسی این امکان که از حل‌گر غیر لزج با معادلات ساده‌تر به جای حل‌گر لزج استفاده شود امری مهم تلقی می‌شود. در این تحقیق بعد از بهینه‌سازی ایرفویل با استفاده جدآگاهانه از حل‌گر اوپلر و ناویر - استوکس و به دست آوردن ایرفویل بهینه، عملکرد آئرودینامیکی آنها در جریان لزج مورد مقایسه قرار گرفت. با توجه به نتایج به دست آمده مشخص شد که عملکرد آئرودینامیکی ایرفویل غیر لزج حدود ۴۰٪ پایین تر از ایرفویل لزج در شرایط یکسان است. بنابراین نمی‌توان از معادلات اوپلر برای یافتن ایرفویل بهینه در جریان واقعی استفاده کرد. همچنین در این تحقیق از روش فنر پیچشی به همراه فنر خطی به منظور تضمین صحبت عملیات حرکت شبکه حول ایرفویل‌های جدید با موفقیت استفاده شد.

سرعت‌های گذر صوتی باشد. در مقابل ایرفویل به دست آمده از حل جریان لزج قادر است نسبت ضریب لیفت به درگ را تا حدود ۵۳ یعنی ۵۵ درصد بالاتر از ایرفویل اولیه افزایش دهد. لازم به ذکر است که زمان محاسباتی لازم برای یافتن ایرفویل بهینه‌ی لزج با استفاده از رایانه‌ی معرفی شده در ابتدای این فصل حدود ۳۱ ساعت و زمان مشابه برای دست‌یابی به ایرفویل بهینه‌ی غیر لزج حدود ۱۰ ساعت است.

۶. نتیجه‌گیری

فرایند بهینه‌سازی آئرودینامیکی با استفاده از الگوریتم ژنتیک و حل‌گر عددی جریان بسیار زمانبر است. در جریان گذر صوتی به علت بالا بودن عدد رینولدز

پانوشت‌ها

1. evolutionary algorithms
2. genetic algorithm
3. parsec
4. shape function

منابع (References)

1. Anderson, W. K. and Bonhaus, D. L. "Airfoil design on unstructured grids for turbulent flows", *In AIAA Journal*, **37**, pp. 185-191 (1999).
2. Baysal, O. and Eleshaky, M. E. "Aerodynamic design optimization using sensitivity analysis and computational fluid dynamics", *In AIAA Journal*, **30**, pp. 718-725 (1992).
3. Hämäläinen, J. P., Mäkinen, R. A. Tarvainen, P. and "Evolutionary shape optimization in CFD with industrial applications", *Proceedings of ECCOMAS Conference*, pp. 11-14 (2000).
4. Goldberg, D. E. "Genetic algorithms in search, optimization and machine learning", *Machine Learning*, **3**, p. 102 (1989).
5. Anderson, W.K. and Venkatakrishnan, V. "Aerodynamic design optimization on unstructured grids with a continuous adjoint formulation", *Computers & Fluids*, **28**, pp. 443-480 (1997).
6. Fouladi, N. and Jahangirian, A. "An algorithm based on neural networks generalization power for genetic algorithm speed up convergence in aerodynamics optimum Designing", *Journal of Mechanical Engineering Sharif University of Technology*, **40**, pp.101-107 (2007).
7. Poole, J., Allen, C. B. and Rendall, T. C. "Aerofoil inviscid drag minimization by constrained global optimization", in 11th World Congress on Computational Mechanics, Barcelona, Spain (2014).
8. Fusi, F., Quaranta, G., Guardone, A. and et al. "Drag minimization of an isolated airfoil in transonic inviscid flow by means of genetic algorithms", in 53rd AIAA Aerospace Sciences Meeting, p. 1722 (2015).
9. Koo, D. and Zingg, D. W. "Progress in aerodynamic shape optimization based on the reynolds-averaged navier-stokes equations", in 54th AIAA Aerospace Sciences Meeting, p. 1292 (2016).

- ۴۲
10. Segee, M., Schetz, J. A. and Kapania, R. K. "Transonic aerodynamics analysis for multidisciplinary design optimization applications", in *34th AIAA Applied Aerodynamics Conference*, p. 4039 (2016).
 11. Xin, P., Dawei, L., Jixiang, S. and et al. "Airfoil aerodynamic optimization based on an improved genetic algorithm", in *Intelligent Systems Design and Engineering Applications (ISDEA), Fifth International Conference*, pp. 133-137 (2014).
 12. Timnak, N. and Jahangirian, A. "Multi-point optimization of transonic airfoils using an enhanced genetic algorithm", *Proceedings of the Institution of Mechanical Engineers, Part G: Journal of Aerospace Engineering*, **232**, pp.1347-1360 (2017).
 13. Singh, K. P., Newman, J. C. and Baysal, O. "Dynamic unstructured method for flows past multiple objects in relative motion", *In AIAA Journal*, **33**, pp. 641-649 (1995).
 14. Samareh, J. A. "Application of quaternions for mesh deformation", NASA/TM-211646 .
 15. Nakahashi, K. and Deiwert, G. S. "Self-adaptive-grid method with application to airfoil flow", *In AIAA Journal*, **25**, pp. 513-520 (1987).
 16. Burg, C. O. "A robust unstructured grid movement strategy using three-dimensional torsional springs", *In 34th AIAA Fluid Dynamics and Exhibit*, p.2529 (2004).
 17. Spranger, K. and Ventikos, Y. "Which spring is the best? comparison of methods for virtual stenting", *IEEE Transactions on Biomedical Engineering*, **61**, pp. 1998-2010 (2014).
 18. nemati, m. and Jahangirian, A. "A grid movement method for optimization of intelligent air foils", Amirkabir University of Technology (2016).
 19. Sobieczky, H. "Parametric airfoils and wings", *In Recent Development of Aerodynamic Design Methodologies*, Springer, **68**, pp. 71-87 (1999).
 20. Shahrokhi, A. and Jahangirian, A. "Airfoil shape parameterization for optimum navier-stokes design with genetic algorithm", *Aerospace Science and Technology*, **11**, pp. 443-450 (2007).
 21. Jahangirian, A. and Johnston, L. "Automatic generation of adaptive unstructured grids for visous flow applications", *In 5th International Conference on numerical grid generation on CFD*, Mississippi State Univ (1996).
 22. Jahangirian, A. and Hadidoolabi, M. "Unstructured moving grids for implicit calculation of unsteady compressible viscous flows", *International Journal for Numerical Methods in Fluids*, **47**, pp. 1107-1113 (2005).
 23. Jameson, A. "Time dependent calculations using multi-grid with applications to unsteady flows past airfoils and wings", *In 10th AIAA Computational Fluid Dynamics Conference*, p.1596 (1991).
 24. Tropea, C., Jakirlic, S., Heinemann, H.-J. and et al. "New results in numerical and experimental fluid mechanics", *Contributions to the 15th STAB/DGLR Symposium Darmstadt*, Germany 2006, **96** (2007).
 25. Deb, K. *Multi-Objective Optimization Using Evolutionary Algorithms*, John Wiley & Sons, **16**, pp.403-449 (2001).
 26. Ebrahimi, M. and Jahangirian, A. "Aerodynamic optimization of airfoils using adaptive parameterization and genetic algorithm", *Journal of Optimization Theory and Applications*, **162**, pp. 257-271 (2014).
 27. Jahangirian, A. and Shahrokhi, A. "Inverse design of transonic airfoils using genetic algorithm and a newparametric shape method", *Inverse Problems in Science and Engineering*, **17**, pp. 681-699 (2009).